

岐阜大学工学部 正会員 山本利繁

## 1. 結 言

河川の流砂現象を理解するうえに河床砂の物理的性質、すなわち粒度組成、形状、丸味率、鉱物組成、空隙率、透水性など必求とされている。ここでは形状をしらべることにした。

藤古川、牧田川との合流点より下流約4.00kmを資料採取区間とし、 $d = 0.15 \sim 5.00\text{ mm}$ 範囲の河床砂約5,000個余りについて測定した。一般に河床粒子は球形と考えられている。しかし実際には球形は少い。そこで鉱物顕微鏡測定により粒子の形、分布状態、粒子の形状と河道の関係、粒子運動に対する形状の影響などをしらべた。

## 2. 牧田川の概要と資料採取方法について

牧田川は流域面積347Km<sup>2</sup>、流域延長47kmである。この流域面積の地質は古生層(砂岩)50%以上、新生代の第4紀(シルト、砂、砾)16%などから成り立っている。また崩壊面積にあいても砂岩がもっとも多く約60%をしめている。図-1に示す調査区間にあいては支流はない。河床砂粒子の採取方法は河床横断方向は左、中、右の3河床より河床表面の砂粒子を約0.3kg採取した。河床縦断方向は約0.5km間隔とした。表は調査区間の測点(距離)No.1～No.9までの概要を示したものである。

## 3. 粒度測定法

各採取点別に横断別に分けた試料を標準網フリイで分類し、各粒径別に円やすい四分法で20個の砂粒子を取り出しその三軸長(長軸a、中軸b、短軸c)を測定した。三軸長の粒径  $d_1 = (a \times b \times c)^{1/3}$  により実測体積  $V_1$  を求め、標準網フリイの内接径  $d_2$  により計算体積  $V_2$  を求め  $V_1$  と  $V_2$  を比較した。また縦軸を%a、横軸を%b、にとり整理した。ついでCoreyの形状係数C<sub>u</sub>、 $F = C_u / \sqrt{a \cdot b}$  を求め検討した。砂の粒度分布測定は重量百分率とした。

## 4. 結 果

河道方向にあける河床砂の中央粒径  $d_{50}$ 、および均等係数  $C_u$  の分布状態は図-2に示すとく。 $d_{50}$  はNo.2とNo.3地点で変化してあり  $C_u$  も同様に上記地点において左岸と右岸の分布が逆になっていることが認められる。これはNo.6～No.5付近で河道が右へ屈曲し、No.4～No.3地点で左方へ蛇行していく河道変曲点がNo.3、No.6付近にありちょうどこの付近で左岸と右岸との粒径分布が入れかわるようである。 $d_{50}$  は流下方向に向いくつか減少している。

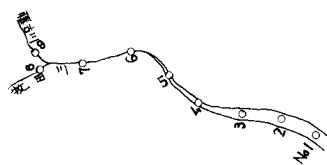
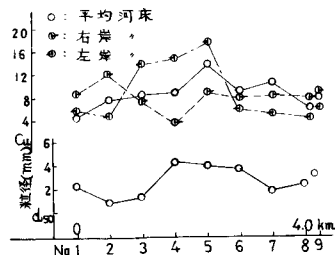
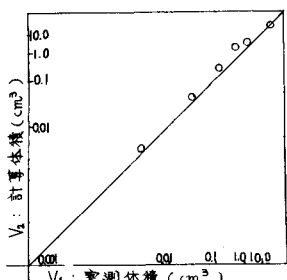


Fig. 1. 資料採取箇所

区分	測点	分 配	備考
上 游	No.7.8.9	1/100~1/100	河巾狭き急流
中 游	No.4.5.6	1/200~1/400	砂州地帯多い
下 游	No.1.2.3	1/400~1/600	砂防堤9ヶ所

Fig. 2. Cu,  $d_{50}$  と距離との関係Fig. 3.  $V_1$  と  $V_2$  の比

前述の三軸長から求めた粒径別平均における  $V_1$  と  $V_2$  の比較は図-3に示した。その結果  $V_1$  と  $V_2$  なる関係がえられた。しかし実際には測定途上において個人的な誤差がはいり粒子形状の不規則なほど真の粒径よりも大きく測定してしまい、その測定誤差が予想より大きくなる。

粒子形とその分布状態は、前述の  $\%a$ 、 $\%b$  を用いると図-4のごとくなる。粒径別は 5.00 mm から 1.20 mm までは円板状から球形に近いものが多く、0.60 mm から 0.15 mm では球形より円柱状のものが多い。

全体の平均値では

$$\frac{\%a}{\%b} = 0.67 \sim 0.72 \quad \%a = 0.63 \sim 0.70 \quad \text{程度となり}$$

$$b \leq a \leq (1.5 \sim 1.4)b \quad b \leq c \leq (0.4 \sim 0.5)b \quad \text{である。}$$

これは長軸  $a$  は中軸  $b$  の 1.4～1.5 倍、短軸  $c$  は中軸  $b$  の 0.63～0.72 倍の範囲となり球形に近い構円体であることがわかる。

Corey の形状係数と河道の関係を図-5 と 6 に示すと、粒径別の S.F 値は上流端 6 地点までは粒径が 0.15, 0.30, 0.60 および 2.5, 17, 1.2 mm の順序に変化するにつれ増大するが 0.6～1.2 mm 間の粒径のものの S.F 値は粒径が一定ならばほとんど変化していない。中流から下流にかけて(とくに No.5, と No.3 の蛇行地点)は不規則な変化を示し、砂州地帯では急激に減少している。砂州地帯には球形のものより円板状、円柱状のものが押し寄せらざりないと推定される。

全体を平均してみると図-6 の S.F 値と平均粒径との関係は

上流(S.F = 0.60) > 中流(S.F = 0.57) > 下流(S.F = 0.56) となり、下流に向って S.F 値が減少し、したがって下流ほど球形からはなれていることを示している。粒径 0.6～1.7 mm の間で S.F 値の急激な変化が認められるが、それは前年度発表したものにも述べた通りである。1.7 mm より大きくなるにしたがい、また 0.9 mm より小さくなるに従って S.F 値は減少している。しかし粒子の形状は前者は円板形、後者は円柱状に近づくことが認められた。粒子が小さくなるに従って球形に近づくと云うことはここでは認められない。

## 5 まとめ

形状とその分布状態は、全体を平均すると球形に近い S.F ≈ 0.7 程度の構円体となる。粒径別は 5.00 から 1.20 mm までは円板状から構円体に近づき 0.60 から 0.15 mm までは構円体から円柱状が多くなる。

形状係数と河道との関係は、蛇行(砂州地帯)地点は S.F 値が不規則で減少を示し円板状、円柱状が多く、牧田川下流では流下に向って S.F 値が減少してあり球形に近づかないことが示された。

前年度発表した木曾三河川における S.F 値と平均粒径との関係を図-6 で比較してみると、牧田川下流における S.F 値が低いがその分布状態はほぼ一致することが確認された。

今あ砂粒子形状がその流動にあよぼす影響については検討を進めている。本研究に当り御指導戴いた岐阜大学増田重臣教授、木村弘助先生に深く感謝の意を表します。

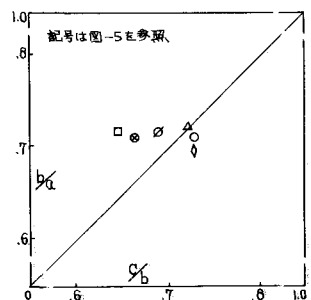


Fig. 4.  $\frac{\%a}{\%b}$  と  $\frac{\%b}{\%a}$  の比較。

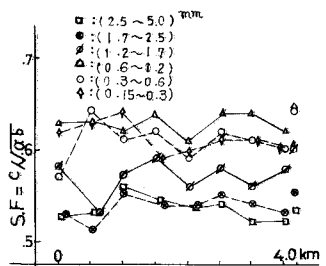


Fig. 5. S.F と距離との関係

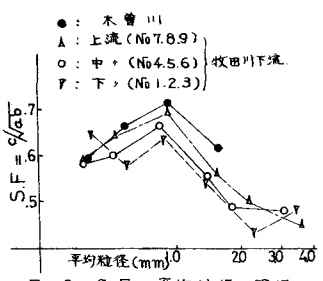


Fig. 6. S.F と平均粒径の関係